

III-252 崩積土地山における内空変位と天端沈下の挙動に関する一考察

清水建設㈱	正会員	水谷文俊
清水建設㈱	正会員	河田孝志
日本道路公団		尾崎清明
日本道路公団		谷井敬春

1. はじめに

NATMの計測管理項目の中で、内空変位と天端沈下は最も計測頻度が多く、トンネル施工の安全性を評価する指標として重要である。また、これらの指標は、①支保パターン、②加背割、③地質状態、等によって、①変位の形状パターン、②最終変位量、③変位の収束時期、等が異なってくるものと考えられる。ここでは、内空変位と天端沈下の計測項目について上述した観点より考察を加え、その変形特性を明らかにしようとするものである。

対象トンネルは北陸自動車道沿トンネルである。

2. 地形・地質概要

図-1に地質縦断図を、表-1に主要地質の土質定数を示す。

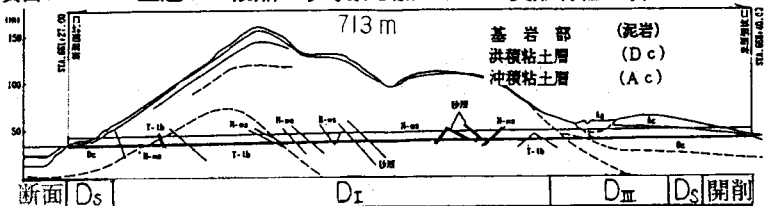


図-1 地質縦断図

表-1 土質定数

試験項目	冲積粘土層 (Ac)		洪積粘土層 (Dc)		基岩部 (泥岩)
	δ-1シング	δ-1シング	フックランプ	δ-1シング	フックランプ
自然含水比 (%)	41	38	38		26.3
コシシ シング	液性限界	53	49	60	36
質	塑性限界	35	30	27	24
物理試験	液性比	1.11	1.07	1.21	0.75
力学試験	饱和度 (%)	96	96	96	
物理試験	比重	2.67	2.64	2.69	
力学試験	单位体積重量 γ (t/m^3)	1.77	1.79	1.75	1.77
一輪圧縮試験	圧縮強度 q_u (kN/m^2)	0.31	1.72	1.68	35.6
三輪圧縮試験	变形係数 E (kN/m^2)	13	67	57	8600
粘着力	粘着力 C (kN/m^2)	0.23	0.56	1.12	25.6
内摩擦角	内摩擦角 ϕ (°)	7.1	13	0	12.1
孔内観察試験	孔内観察試験	D (kN/m^2)	60	159	—
平板載荷試験	極限支持力 (kN)	—	—	93	—
N値	N値	5~30	5~30	—	—
地山強度比	地山強度比 q_u/τ_h	0.25	0.54	0.90	15.4
					4.7

表-2 標準支保パターン

支保パターン	側壁深坑先進上部半断面工法		ショートベンチ工法 (水抜導坑)
	Ds	DII (NATM)	
支保パターン	①②③④	①②③④	DII (NATM)
加背割			
代表的 地質	礫混り粘性土	粘性土	泥岩
覆工巻厚(cm)	60(シルバーリン)	40(シルバーリン)	30(シルバーリン)
吹付巻厚(cm)	—	20	15
ロックボルト (長さ・周方向間隔)	—	4.0m×1.2m	3.0m×1.2m
鋼製支保工	H-200	H-200	H-150
支保工間隔(m)	0.75	1.00	1.00

4. 内空変位と天端沈下の挙動

内空変位と天端沈下の変位形状をパターン分類したものを表-3に示す。

内空変位のパターンは次の3つに分類できる。

① D_sパターン：計測開始とともに内側に変形し、下半掘削の影響をほとんど受けないパターン

② D_{III}, D_{III-I}, D_{III-II}パターン：計測開始とともに外側に変形し、下半の切羽が近づくに従い今度は内側に変形するパターン

③ D_{III-III}, D_I, D_{I-I}：計測開始とともに内側に変形し、いったん収束した後、下半の切羽が近づくに再び内側に変形が進行するパターン

天端沈下については変位の収束時期は異なるもののほぼ同様な傾向を示す。

内空変位に関して上述の②のような傾向をしているのは、比較的土被りが薄い粘性土地山であり、上載荷重が卓越し、一方、脚部の支持地盤の地耐力が十分でないため、トンネル脚部が沈下し脚部が開いたものと考えられる。

上半掘削時に内空変位がどの程度生じているかを示したもののが図-2である。この図より、D_{III}パターンの上半掘削時の変位量の割合はD_Iパターンと比べて小さな値となっている。一方、天端沈下に関しては、図-3に示すようにD_{III}パターンの方がD_Iパターンと比べて若干高い値を示している。

この結果は、上半掘削時までに生じたD_{III}パターンの変位に関しては側方よりも鉛直方向の荷重が卓越し、そのため、内空変位が外側に変形し、下半掘削後変位が最終的に落ちてくまでの変位の割合が小さくなったものと考えられる。

5. おわりに

当トンネルの粘性土地山では鉛直方向の荷重が卓越しており、脚部の沈下が懸念される。このような地山においては沈下防止のためトンネル脚部の拡幅は効果があるものと考えられる。

参考文献

谷井、梅沢、千葉、竹林、河田：崩積土地山のトンネルにおける計測結果の考察、第18回土木学会・岩盤力学に関するシンポジウム

表-3 変位形状パターン

	側壁深坑先進上部半断面工法	ショートベンチ工法	ショートベンチ工法 (水抜運搬)
支保パターン	D _s	D _{III} (NATM)	D _I (NATM)
加 背 制			
代 表 的 質	硬 繊り 粘性土	粘 性 土	泥 岩
内 空 変 位			
変 位 (mm)	16.5	7.9	6.3
収束時期	2D	5D	6.5D
天 端 沈 下			
変 位 (mm)	6.4	4.4	2.4
収束時期	2D	5D	6.5D

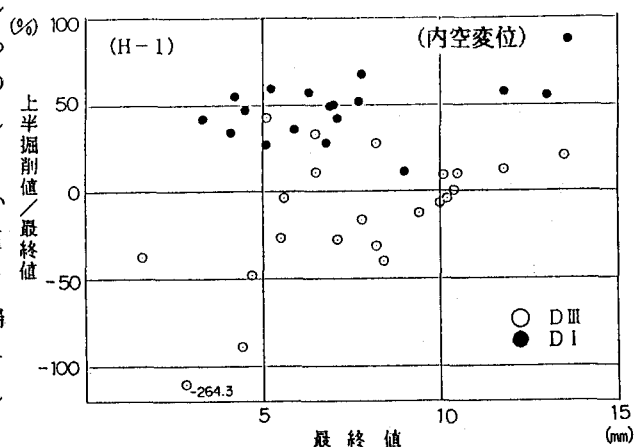


図-2 最終変位と上半掘削時の変位量の関係

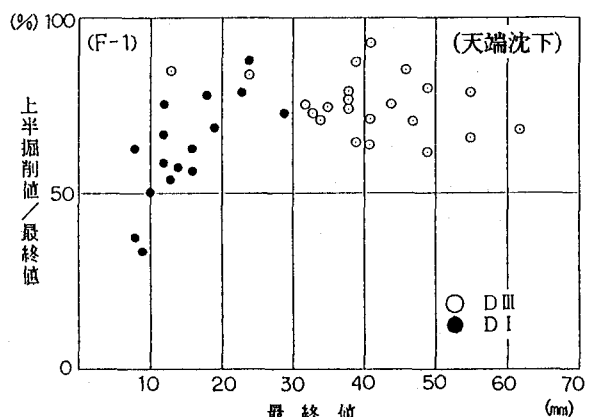


図-3 最終変位と上半掘削時の変位量の関係